

اعظم شادمان (کارشناس ارشد)  
دانشکده‌ی مهندسی برق، دانشگاه صنعتی شریف

جواد مهاجری (کارشناس ارشد)

محمود سلماسی‌زاده (دانشیار)  
بزهشکده‌ی الکترونیک، دانشگاه صنعتی شریف

الگوریتم رمز دنباله‌ی WG (Welch-Gong)، یک الگوریتم رمز با کلیدی با طول متغیر ۸۰، ۹۶، ۱۱۲ و ۱۲۸ بیت است که با هدف شرکت در گروه ۲ پروژوی eSTREAM طراحی شده است. در این نوشتار به تحلیل الگوریتم رمز دنباله‌ی WG-۱۲۸ و بررسی میزان مقاومت آن در برابر حمله‌ی تمایز مبتنی بر تقریب خطی پرداخته‌ایم. با یافتن یک نقاب خطی مناسب برای بخش غیرخطی WG-۱۲۸، حمله‌ی تمایز به الگوریتم WG-۱۲۸ ساده‌شده (بدون در نظر گرفتن «تابع اثر») اعمال و نشان داده می‌شود که اعمال این حمله در صورت دسترسی به ۲۳۲ کلمه‌ی خروجی منجر به تمایز دنباله‌ی کلمات خروجی الگوریتم WG-۱۲۸ ساده‌شده از دنباله‌ی خروجی یک منبع تصادفی می‌شود.

shademan@ee.sharif.edu  
mohajer@sharif.edu  
salmasi@sharif.edu

واژگان کلیدی: حمله تمایز، رمزهای دنباله‌ی، تقریب خطی.

## ۱. مقدمه

نیاز به الگوریتم‌های رمز سریع، با پیچیدگی سخت‌افزاری کم‌تر از رمزهای قالبی، باعث پیشرفت‌های چشم‌گیری در زمینه‌ی طراحی رمزهای دنباله‌ی در چند سال اخیر شده است. از جمله اقدامات تأثیرگذار در خصوص طراحی و تحلیل الگوریتم‌های رمز دنباله‌ی امن و کارآمد، می‌توان به اقدام قطب علمی رمزنگاری اروپا (ECRYPT<sup>۲</sup>) در نوامبر سال ۲۰۰۴، مبتنی بر انتشار فراخوانی تحت عنوان eSTREAM به منظور مدیریت و هماهنگ‌سازی تلاش‌های چندین‌ساله برای طراحی رمزهای دنباله‌ی مناسب اشاره کرد.<sup>[۱]</sup> الگوریتم‌های ارائه‌شده به eSTREAM در دو گروه

تقسیم‌بندی می‌شوند:

۱. الگوریتم‌های رمز دنباله‌ی مناسب برای پیاده‌سازی نرم‌افزاری؛

۲. الگوریتم‌های رمز دنباله‌ی مناسب برای پیاده‌سازی سخت‌افزاری با منابع محدود (از قبیل حافظه، تعداد دروازه‌ها<sup>۳</sup> یا توان مصرفی).

در ابتدا عملکرد بسیاری از الگوریتم‌های رمز دنباله‌ی مبتنی بر بیت بود که با توجه به فناوری آن دوره، هزینه‌ی پیاده‌سازی سخت‌افزاری آنها (تعداد دروازه‌های مورد نیاز) بسیار پایین بود. پیشرفت در فناوری ساخت تراشه‌های الکترونیکی و افزایش کار بردهای نرم‌افزاری، امکان طراحی الگوریتم‌هایی با ساختار مبتنی بر کلمه را فراهم ساخت. الگوریتم‌های رمز دنباله‌ی SNOW، PANAMA و SEAL<sup>[۴-۲]</sup> از جمله الگوریتم‌هایی هستند که ساختار آنها مبتنی بر کلمه است. ساختار اصلی بسیاری از الگوریتم‌های رمز دنباله‌ی، ثبات انتقال با پس‌خور خطی (LFSR<sup>۴</sup>) است که خروجی آنها، از نظر آماری ویژگی‌های خوبی دارد.

تاریخ: دریافت ۱۸/۳/۱۳۸۸، داوری ۹/۸/۱۳۸۸، پذیرش ۱۲/۲/۱۳۸۸.

### ۱.۱. کارهای مرتبط

تاکنون حمله‌ی تمایزی<sup>۵</sup> بر خانواده‌ی WG اعمال نشده است. تنها حمله‌ی صورت گرفته بر این خانواده، حمله‌ی از نوع حملات مقدار اولیه‌ی منتخب<sup>۶</sup> است که بر WG-۸۰ اعمال شده است.<sup>[۶]</sup> اعمال این حمله بر نسخه‌ی WG-۸۰ با مقدار اولیه‌ی ۸۰ بیتی، با حدود  $2^{31}$  مقدار اولیه‌ی منتخب متفاوت، منجر به بازیابی ۴۸ بیت از کلید با احتمال  $2^{-8/7}$  می‌شود. همچنین با اعمال این حمله بر نسخه‌ی WG-۸۰ با مقدار اولیه‌ی ۶۴ بیتی، با حدود  $2^{25}$  مقدار اولیه‌ی منتخب متفاوت، ۲۹ بیت از کلید با احتمال  $2^{-5}$  قابل بازیابی است.<sup>[۷]</sup>

پس از معرفی این حمله، طراحان WG تنها با افزایش تعداد مراحل بارگذاری کلید و مقدار اولیه، از ۲۲ دور به ۴۴ دور و بدون هرگونه تغییر دیگری در ساختار الگوریتم، تلاش کردند امکان اعمال حمله‌ی مقدار اولیه‌ی منتخب به WG را از میان ببرند.<sup>[۸]</sup>

## ۲.۱. نوآوری

کلید، اعمال موفق این حمله لزوماً منجر به کسب اطلاعاتی درمورد کلید نمی‌شود، ولی نشان‌گر وجود یک نقطه ضعف در الگوریتم و عدم ارضای یکی از شرایط لازم برای الگوریتم‌های رمز بوده که در شرایطی می‌تواند موجب نشت اطلاعات ناخواسته برای دشمن شود و استفاده از الگوریتم تحلیل‌شده را با تردید مواجه سازد.<sup>[۹]</sup> تاکنون حمله‌ی تمایز به الگوریتم‌های رمز دنباله‌ی متعددی مانند SNOW۱، SNOW۲، SOBER-۱۲۸ و DRAGON اعمال شده است.<sup>[۱۰-۱۳]</sup>

در این نوشتار میزان مقاومت الگوریتم WG-۱۲۸ با طول بارگذاری ۴۴ دور، در برابر حمله‌ی تمایز مبتنی بر تحلیل خطی بررسی و نشان داده شده است که می‌توان با یافتن یک تقاب<sup>۲</sup> خطی مناسب برای بخش غیرخطی WG-۱۲۸ با اربیبی<sup>۸</sup> (فاصله‌ی احتمال رویداد رابطه‌ی خطی یافت‌شده از  $\frac{1}{2^4}$ )، حمله‌ی تمایز به الگوریتم WG-۱۲۸ ساده‌شده (بدون در نظر گرفتن «تابع اثر») را با موفقیت اعمال کرد. این حمله منجر به تمایز بین دنباله‌ی کلمات خروجی الگوریتم WG-۱۲۸ و دنباله‌ی خروجی یک منبع تصادفی می‌شود. در ادامه‌ی این نوشتار، در بخش ۲ به معرفی حملات مختلف بر الگوریتم‌های رمز دنباله‌ی، به‌ویژه حمله‌ی تمایز می‌پردازیم. در بخش ۳ نیز خانواده‌ی WG معرفی خواهد شد. سپس حمله‌ی تمایز اعمال شده به الگوریتم WG-۱۲۸ را در بخش ۴ تشریح کرده و نهایتاً نتایج حاصل از اعمال حمله در بخش ۵ ارائه می‌شود.

## ۳. خانواده‌ی WG

الگوریتم WG، الگوریتمی مبتنی بر کلمه است که در میدان متناهی با  $2^{2^9}$  عنصر تعریف شده است. نمادهای استفاده شده در این مقاله در بخش ۱.۳ ارائه می‌شود.

## ۲. انواع حملات

حملات علیه رمزهای دنباله‌ی براساس میزان اطلاعات در دسترس، هدف حمله و یا روش حمله تقسیم‌بندی می‌شوند. معمولاً فرض بر این است که حمله‌کننده الگوریتم رمز را می‌داند اما به کلید دسترسی ندارد. حملات براساس هدف حمله با فرض متن اصلی معلوم به سه دسته تقسیم می‌شوند:

۱. بازایی کلید<sup>۹</sup>: حملاتی که هدف از آنها استخراج کلید یا بخشی از آن است.
۲. پیش‌گویی<sup>۱۰</sup>: حملاتی که در آنها سعی می‌شود یک بیت یا دنباله‌ی از بیت‌های کلید با احتمال زیاد پیش‌گویی شود.
۳. تمایز: حملاتی که براساس روش‌های آماری برای تمایز دنباله‌ی کلید اجرایی از یک دنباله‌ی تصادفی به کار می‌روند. در این نوشتار تمرکز روی این حمله است.

### ۲.۱. حمله‌ی تمایز

یکی از حملاتی که به الگوریتم‌های رمز دنباله‌ی اعمال می‌شود «حمله‌ی تمایز» است. حمله‌ی تمایز حمله‌ی است که در آن دنباله‌ی خروجی یک الگوریتم رمز از یک دنباله‌ی تصادفی با احتمال غیر قابل چشم‌پوشی تمیز داده می‌شود. لازم به ذکر است که به لحاظ نظری اعمال حمله‌ی تمایز به هر الگوریتم رمز با طول کلید محدود امکان‌پذیر است زیرا به هر الگوریتم رمز با طول کلید  $k$  بیت، می‌توان با پیچیدگی  $2^k$  و جست‌وجوی فراگیر فضای کلید مشخص کرد که دنباله‌ی در دسترس، خروجی الگوریتم رمز مورد نظر هست یا خیر.

درمورد حمله‌ی تمایز این نکته قابل ذکر است که اعمال حمله‌ی تمایز بستگی به طول دنباله‌ی خروجی در دسترس از الگوریتم مورد نظر دارد و به طول کلید الگوریتم وابسته نیست. در واقع در این حمله با تحلیل آماری دنباله‌ی خروجی، مشخص می‌شود که دنباله‌ی در دسترس، خروجی یک منبع کاملاً تصادفی است یا خروجی الگوریتم رمز مورد نظر. توجه به این نکته ضروری است که هدف از حمله‌ی تمایز بازایی کلید یا حالت اولیه‌ی الگوریتم رمز دنباله‌ی نیست. بلکه تنها ویژگی‌های دنباله‌ی تولیدشده از نظر تطابق با ویژگی‌های مورد انتظار برای یک دنباله‌ی کاملاً تصادفی سنجیده می‌شود؛ لذا اعمال این حمله به طول زیادی از دنباله‌ی کلید - بسته به قدرت الگوریتم - نیاز دارد. توجه به این نکته ضروری است که با وجود آن که به دلیل عدم ارتباط مشخص بین طول دنباله‌ی خروجی و مقدار

### ۱.۳. نمادگذاری و تعاریف اولیه

در این بخش از تعاریف و نمادهای زیر استفاده شده است:

$$F_2 = GF(2): \text{یک میدان متناهی با دو عنصر صفر و یک؛}$$

$$F_{2^n} = GF(2^n): \text{بسط میدان } GF(2) \text{ با } 2^n \text{ عنصر؛}$$

$$F_2^n: \text{یک فضای برداری } n \text{ بعدی روی میدان } GF(2);$$

تابع اثر: برای مقادیر صحیح مثبت  $m$  و  $n$  که در آن  $m|n$ ، تابع اثر  $Tr_n^m(x)$  از  $F_{2^n}$  به  $F_{2^m}$  مطابق رابطه‌ی ۱ تعریف می‌شود:

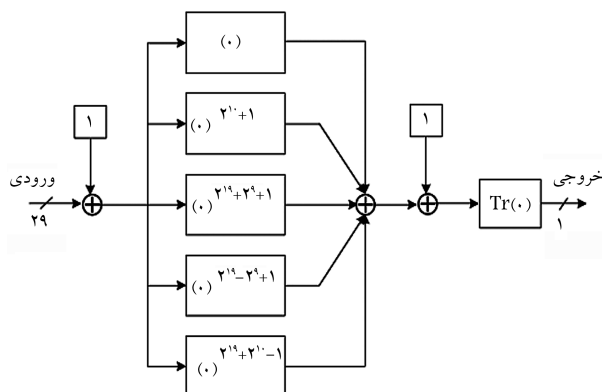
$$Tr_n^m(x) = \sum_{i=0}^{(n/m)-1} x^{2^{mi}}, x \in F_{2^n} \quad (1)$$

پایه‌های چندجمله‌ی: اگر  $F_{2^m}$  میدانی متناهی و  $\alpha$  یک ریشه از چندجمله‌ی اولیه<sup>۱۱</sup> بی باشد که  $F_{2^m}$  را تولید می‌کند، آنگاه  $\{1, \alpha, \alpha^2, \dots, \alpha^{m-1}\}$  پایه‌ی چندجمله‌ی  $F_{2^m}$  روی  $F_2$  نامیده می‌شود.

پایه‌ی نرمال: اگر  $F_{2^m}$  یک میدان متناهی و  $\gamma$  یک عنصر از  $F_{2^m}$  باشد به طوری که  $\{\gamma, \gamma^2, \gamma^4, \dots, \gamma^{2^{m-1}}\}$  یک پایه از  $F_{2^m}$  روی میدان  $F_2$  باشد، آنگاه  $\{\gamma, \gamma^2, \gamma^4, \dots, \gamma^{2^{m-1}}\}$  پایه‌ی نرمال  $F_{2^m}$  روی  $F_2$  نامیده می‌شود.

### ۲.۳. ساختار خانواده‌ی WG

هر الگوریتم رمز دنباله‌ی از خانواده‌ی WG، شامل یک مولد دنباله‌ی شبه تصادفی (دنباله‌ی کلید) است. این دنباله‌ی کلید با متن اصلی در پیمان ۲ جمع شده و متن رمز شده را ایجاد می‌کند. مولد دنباله‌ی کلید WG از یک ثبات انتقال با پس‌خورد خطی به طول  $L$  با چندجمله‌ی پس‌خورد اولیه روی  $F_{2^n}$  و از یک تبدیل Welch-Gong (WG) به عنوان تابع فیلتر تشکیل شده است. تبدیل WG برگرفته از تبدیل معرفی شده توسط محققین در سال ۱۹۹۸ است.<sup>[۱۴]</sup> این مولد، یک دنباله‌ی کلید با دوره‌ی تناوب  $2^m - 1$  تولید می‌کند که در آن  $m = nL$  است. این دنباله متوازن است و خودهم‌بستگی<sup>۱۲</sup> دوسطحی دارد. پیچیدگی خطی دنباله‌ی WG به صورت نمایی با  $n$  افزایش می‌یابد و هم‌بستگی متقابل<sup>۱۳</sup> آن سه سطح دارد. به علاوه اگر پایه‌های به کار رفته در محاسبات  $F_{2^n}$  به درستی انتخاب شوند، دنباله‌ی خروجی تبدیل WG هیچ هم‌بستگی با ورودی آن نخواهد داشت.<sup>[۱۵]</sup>

شکل ۲. نمودار قالبی تبدیل WG:  $F_{2^{19}} \rightarrow F_2$ . [۵]

بردار ۲۹ بیتی نمایش داده شود، آنگاه  $x^{2^i}$  با  $i$  بیت انتقال چرخشی بیت‌های  $x$  به سمت راست به دست می‌آید.

- اگر  $\gamma$  مولد پایه‌ی نرمال باشد، آنگاه  $\gamma^{2^i} = \sum_{j=0}^{2^i-1} \gamma^{2^j}$ ، یک بردار ۲۹ بیتی تمام یک است. بنابراین حاصل جمع هر عنصر میدان با یک، برحسب پایه‌های نرمال، به آسانی با معکوس کردن بیت‌های آن عنصر به دست می‌آید.

- مقدار تابع اثر همه‌ی عناصر پایه‌ی نرمال برابر ۱ است، یعنی  $Tr(\gamma^{2^i}) = 1$ ،  $0 \leq i \leq 28$ . در نتیجه تابع اثر هر عنصر میدان که به صورت یک بردار ۲۹ بیتی است، با جمع بیت‌های آن عنصر در  $F_2$ ، XOR، محاسبه می‌شود. [۵]

#### ۴.۳. امنیت الگوریتم WG-۱۲۸

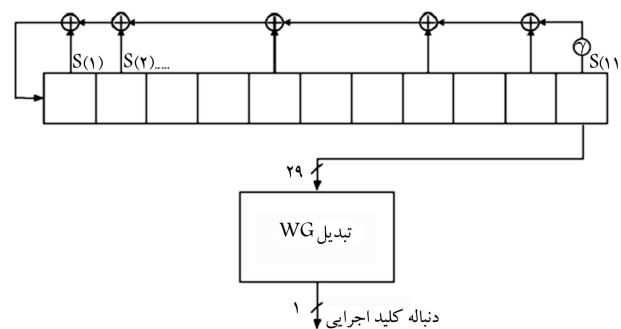
دنباله‌ی تولیدشده به وسیله‌ی الگوریتم WG-۱۲۸ متوازن بوده و دوره‌ی تناوب آن  $2^{219} - 1$  است. خودهم‌بستگی آن دو سطح دارد و پیچیدگی خطی دنباله‌ی کلید  $2^{250} \cdot 2^{15}$  است. مرتبه‌ی غیرخطی تبدیل WG برابر  $2^{28} - 2^{12}$  است. اندازه‌ی حالت داخلی WG، ۳۱۹ بیت است که از دوبرابر طول کلید بیشتر و در نتیجه در برابر حمله‌ی بده - بستان زمان/حافظه/داده مقاوم است. همچنین طراحان این الگوریتم مدعی‌اند که این الگوریتم در برابر حمله‌ی جبری و هم‌بستگی نیز امن است. [۱۵]

#### ۴. اعمال حمله‌ی تمایز به الگوریتم رمز دنباله‌ی

##### WG-۱۲۸

در این بخش به تشریح یک حمله‌ی تمایز جدید به نسخه‌ی ساده‌شده‌ی الگوریتم WG-۱۲۸ می‌پردازیم. برای اعمال این حمله، تابع اثر را حذف، و فرض می‌کنیم حمله‌کننده به دنباله‌ی کلمات ۲۹ بیتی قبل از تابع اثر، دسترسی دارد. لازم به ذکر است که تابع اثر، ۲۹ بیت هر کلمه را با یکدیگر در پیمانه ۲ جمع کرده و در نتیجه خروجی الگوریتم، بیت به بیت تولید می‌شود که منجر به کاهش سرعت تولید دنباله‌ی کلید اجرایی خواهد شد.

در بسیاری از موارد، حمله‌ی تمایز به الگوریتم‌های رمز دنباله‌ی ساده‌شده اعمال شده است. در این حملات با در نظر گرفتن برخی فرضیات، امکان اعمال حمله‌ی تمایز با اربابی مناسب، افزایش یافته است. به عنوان مثال، در سال ۲۰۰۲ حمله‌ی تمایز مبتنی بر خطی‌سازی، صرف‌نظر از تابع stuttering که باعث توزیع غیریکنواخت دنباله‌ی خروجی می‌شود، بر SOBER۳۲ اعمال شد. [۸] ما نیز در این حمله فرض می‌کنیم به دنباله‌ی بیت قبل از تابع اثر دسترسی داریم.



شکل ۱. نمودار قالبی مولد دنباله‌ی کلید WG. [۵]

#### ۳.۳. ساختار الگوریتم WG-۱۲۸

WG یک رمز دنباله‌ی با کلیدهایی به طول‌های ۸، ۹۶، ۱۱۲، یا ۱۲۸ بیت است. همچنین یک بردار اولیه (IV) ۳۲ یا ۶۴ بیتی نیز به همراه هر یک از کلیدهای یادشده به منظور افزایش امنیت استفاده می‌شود. شمای کلی الگوریتم‌های خانواده‌ی WG در شکل ۱ نشان داده شده است. الگوریتم WG-۱۲۸ شامل یک ثابت انتقال خطی (LFSR) روی میدان  $F_{2^{19}}$  است. دنباله‌ی تولیدشده توسط ثابت انتقال، به وسیله‌ی تبدیل غیرخطی WG فیلتر می‌شود. همه‌ی عناصر  $F_{2^{19}}$  و محاسبات میدان برحسب پایه‌های نرمال نمایش داده می‌شوند. [۱۵] چندجمله‌ی پس‌خورد LFSR در رابطه‌ی ۲ تعریف شده است:

$$p(x) = x^{11} + x^{10} + x^9 + x^6 + x^5 + x + \gamma \quad (2)$$

که در آن  $\beta$  و  $\gamma = \beta^{4^{24230077}}$  ریشه‌ی چندجمله‌ی اولیه  $g(x)$  به عنوان چندجمله‌ی مولد  $F_{2^{19}}$  روی  $F_2$  بوده که در رابطه‌ی ۳ تعریف شده است:

$$g(x) = x^{2^9} + x^{2^8} + x^{2^4} + x^{2^1} + x^{2^0} + x^{1^9} + x^{1^8} + x^{1^7} + x^{1^4} + x^{1^2} + x^{1^1} + x^{1^0} + x^7 + x^6 + x^4 + x + 1 \quad (3)$$

اگر  $t(x)$  یک چندجمله‌ی روی میدان  $F_{2^{19}}$  باشد که در رابطه‌ی ۴ تعریف شده است:

$$t(x) = x + x^{2^{19}+1} + x^{2^{19}+2^{18}+1} + x^{2^{19}-2^{18}+1} + x^{2^{19}+2^{17}-1}, \quad x \in F_{2^{19}} \quad (4)$$

آنگاه تابع غیر خطی اعمال شده بر دنباله‌ی خروجی LFSR الگوریتم WG، به صورت رابطه‌ی ۵ تعریف می‌شود:

$$f(x) = Tr(t(x+1) + 1), \quad x \in F_{2^{19}} \quad (5)$$

که در آن  $Tr(\alpha) = \sum_{i=0}^{2^8-1} \alpha^{2^i}$ ، یک تبدیل از  $F_{2^{19}}$  به  $F_2$  است. تابع  $f(x)$  در شکل ۲ نشان داده شده است. ۲۹ بیت ورودی WG به عنوان عنصری در  $F_{2^{19}}$  در نظر گرفته شده و برحسب پایه‌ی نرمال نشان داده می‌شود. عناصر پایه‌ی نرمال  $F_{2^{19}}$  که توسط  $g(x)$  تعریف و به وسیله‌ی عنصر  $\gamma \in F_{2^{19}}$  تولید می‌شوند عبارت‌اند از:  $\{\gamma, \gamma^{2^1}, \gamma^{2^2}, \dots, \gamma^{2^{28}}\}$ . با استفاده از پایه‌ی نرمال می‌توان محاسبات WG را چنین ساده کرد:

- اگر عناصر برحسب پایه‌های نرمال نشان داده شوند، توان‌رسانی با انتقال چرخشی به سمت راست انجام می‌شود. به عبارت دیگر، اگر  $x \in F_{2^{19}}$  به صورت یک

## ۱.۴. ویژگی‌های آماری الگوریتم ساده‌شده در مقایسه با الگوریتم اصلی

چنان‌که پیش‌تر گفته شد، در الگوریتم ساده‌شده دنباله‌ی بیت‌های خروجی را قبل از تابع اثر در نظر می‌گیرند. لازم به ذکر است که حذف تابع اثر بر دوره‌ی تناوب دنباله‌ی خروجی تأثیری ندارد و باعث تخریب خواص تصادفی بودن دنباله‌ی خروجی نیز نمی‌شود. به منظور بررسی این ادعا، دنباله‌ی خروجی الگوریتم WG-۱۲۸ قبل از تابع اثر را از تعدادی از آزمون‌های آماری عبور می‌دهیم تا مطمئن شویم که با حذف تابع اثر نمی‌توان با اعمال آزمون‌های آماری رایج، بین دنباله‌ی بیت حاصل از الگوریتم ساده‌شده WG-۱۲۸ و دنباله‌ی بیت تصادفی تمایز قائل شد. در این بررسی آزمون‌های سریال، فرکانس، روها<sup>۱۴</sup>، پوکر و هم‌بستگی روی دنباله‌ی خروجی اعمال شد. چنان‌که در جدول ۱ مشاهده می‌شود، بیت‌های خروجی با موفقیت از آزمون‌های آماری عبور کرده و در نتیجه اعمال حمله‌ی تمایز از طریق اعمال آزمون‌های آماری متداول ممکن نیست.

## ۲.۴. روش حمله

در این بخش روش ساخت تمایزگر<sup>۱۵</sup> برای اعمال حمله‌ی تمایز بر الگوریتم WG-۱۲۸ بررسی می‌شود.

### ۱.۲.۴. تحلیل LFSR

چندجمله‌ی پسخورد LFSR به کار رفته در WG-۱۲۸ در رابطه‌ی ۲ معرفی شد. برای تسهیل در اعمال حمله‌ی تمایز بر WG-۱۲۸ باید همه‌ی ضرایب این چندجمله‌ی بی‌درجه و ۱ باشد. به منظور حذف  $\gamma \in F_{2^{29}}$  از رابطه‌ی مزبور، می‌توان  $P(x)$  را به توان  $2^{29}$  رساند. توان‌رسانی‌های مکرر تأثیری در رابطه‌ی بازگشتی WG-۱۲۸ ندارد و این رابطه همچنان معتبر باقی خواهد ماند.

$$p(x)^{2^{29}} = x^{11 \times 2^{29}} + x^{10 \times 2^{29}} + x^9 \times 2^{29} + x^6 \times 2^{29} + x^3 \times 2^{29} + x^2 + \gamma^{2^{29}} \quad (۶)$$

از آنجا که  $\gamma \in F_{2^{29}}$  آنگاه  $\gamma^{2^{29}} = \gamma$ . از جمع روابط ۲ و ۶، رابطه‌ی ۷ حاصل می‌شود:

$$p(x) + p(x)^{2^{29}} = x^{11 \times 2^{29}} + x^{10 \times 2^{29}} + x^9 \times 2^{29} + x^6 \times 2^{29} + x^3 \times 2^{29} + x^2 + x + x^{2^{29}} + x^{11} + x^{10} + x^9 + x^6 + x^3 + x \quad (۷)$$

که در آن پس از حذف  $\gamma$ ، یک رابطه‌ی خطی با ۱۲ جمله باقی می‌ماند. با تقسیم رابطه‌ی ۷ به  $x$ ، رابطه‌ی بازگشتی ۸ حاصل می‌شود:

$$S_{t+\tau_1} + S_{t+\tau_2} + S_{t+\tau_3} + S_{t+\tau_4} + S_{t+\tau_5} + S_{t+\tau_6} + S_{t+\tau_7} + S_{t+\tau_8} + S_{t+\tau_9} + S_{t+\tau_{10}} + S_{t+\tau_{11}} + S_{t+\tau_{12}} = 0 \quad (۸)$$

که در آن  $\tau_1 = 0$ ،  $\tau_2 = 2$ ،  $\tau_3 = 5$ ،  $\tau_4 = 8$ ،  $\tau_5 = 9$ ،  $\tau_6 = 10$ ،  $\tau_7 = 2^{29} - 1$ ،  $\tau_8 = 3 \times 2^{29} - 1$ ،  $\tau_9 = 6 \times 2^{29} - 1$ ،  $\tau_{10} = 9 \times 2^{29} - 1$ ،  $\tau_{11} = 10 \times 2^{29} - 1$ ،  $\tau_{12} = 11 \times 2^{29} - 1$ .

جدول ۱. نتایج آزمون‌های آماری استاندارد اعمال شده بر الگوریتم WG-۱۲۸ ساده شده.

نام آزمون	فرکانس	سریال	پوکر	روها	هم بستگی
درصد موفقیت	%۹۵	%۹۵	%۹۵	%۱۰۰	%۹۸

۱ -  $2^{29} \times 11 = \tau_{12}$  است. رابطه‌ی خطی ۸ برای هر بیت از کلمه‌ی خروجی به طور جداگانه برقرار است.

## ۲.۲.۴. تقریب خطی WG-۱۲۸ ساده‌شده

برای تقریب بخش غیرخطی، از روش نقاب‌گذاری استفاده می‌کنیم. اولین قدم در روش نقاب‌گذاری، انتخاب چندین بیت از ورودی، خروجی، کلید ثابت و سپس ترکیب خطی آنها به گونه‌ی بی‌ارایی است که ترکیب خطی که تنها شامل بیت‌های خروجی است به اندازه‌ی کافی بزرگ باشد. اگر ترکیب خطی به دست آمده با اریبی  $\epsilon$  برقرار باشد، حدود  $\epsilon^{-2}$  کلمه‌ی خروجی برای تمایز بین خروجی الگوریتم از یک دنباله‌ی بیت کاملاً تصادفی مورد نیاز است. این مقدار باید از فضای جست‌وجوی کامل کلید کم تر باشد تا حمله‌ی تمایز موفق تلقی شود. بنابراین مسئله‌ی مهم، یافتن تقریب خطی با بالاترین اریبی ممکن است.

بخش غیرخطی الگوریتم رمزی WG-۱۲۸ بدون احتساب تابع رد با رابطه‌ی ۹ قابل توصیف است:

$$h(x) = t(x + 1) + 1, \quad x \in F_{2^{29}} \quad (۹)$$

برای خطی‌سازی رابطه‌ی ۹ باید نقاب  $\lambda$  چنان باشد که رابطه‌ی  $\lambda.h(x) = \lambda.x$  با بالاترین اریبی ممکن برقرار باشد که در آن  $\lambda.x$  مبین ضرب داخلی  $\lambda$  و  $x$  است. از آنجا که  $\lambda \in F_{2^{29}}$ ، امکان جست‌وجوی همه‌ی حالت‌های موجود امکان‌پذیر نیست. بنابراین حالت‌های مختلف با وزن همبستگی‌های متفاوت شبیه‌سازی شد. جدول ۲ نمونه‌ی از نقاب‌های مختلف و اریبی مربوط به آنها را نشان می‌دهد.

همان‌طور که در جدول ۲ مشاهده می‌شود، تابع  $h(x)$  در بیت‌های کم‌ارزش LSB بسیار ضعیف عمل می‌کند، به طوری که با قرار دادن ۷ صفر در خروجی رابطه‌ی  $\lambda.h(x) = \lambda.x$  با اریبی بسیار خوبی برقرار است. بنابراین اگر خروجی تابع  $h(x)$  را  $z$  بنامیم، با توجه به این که ورودی  $h(x)$ ،  $S(11)$  است، رابطه‌ی ۱۰ به دست می‌آید:

$$S(11)_0 \oplus S(11)_1 \oplus S(11)_2 = z_0 \oplus z_1 \oplus z_2 \quad (۱۰)$$

اندیس  $i$  در  $z_i$  و  $S(11)_i$  بیان‌گر موقعیت بیت است. با توجه به رابطه‌ی  $\epsilon + \frac{1}{2} = p$  رابطه‌ی ۱۰ با اریبی  $2^{-1}$  برقرار است. با جایگذاری رابطه‌ی ۱۰ در رابطه‌ی خطی

جدول ۲. نقاب‌های اعمال شده به تابع  $h(x)$ .

نقاب	احتمال
۰۰۰۳۰۰۰۰۳	$1/2 - 6/48E - 0.05$
۰۰۰۸۳۰۰۰	$1/2 - 1/91E - 0.05$
۰۰۰۱۸۰۰۱	$1/2 - 2/29E - 0.05$
۰۳۰۳۶۰۰۰c	$1/2 - 3/43E - 0.05$
۰۰۰a۰۱۰۱	$1/2 - 2/29E - 0.05$
۰۰۵۰۰۰۰۰	$1/2 + 1/53E - 0.05$
۰۰۰۰۰۰۰۰f	$1/2 + 7/63E - 0.06$
۰۸۰۸۰۰۰۳	$1/2 - 1/53E - 0.05$
۰ffffff۰	$1/2 - 2/67E - 0.05$
۰۰۰۰۰۰۰۷	$1/2 + 0/5$

۸، به رابطه‌ی ۱۱ براساس بیت‌های خروجی دست می‌یابیم:

$$\begin{aligned} & S(11 + \tau_1)_0 \oplus S(11 + \tau_2)_0 \oplus S(11 + \tau_3)_0 \oplus \dots \oplus S(11 + \tau_{12})_0 \\ & \oplus S(11 + \tau_1)_1 \oplus S(11 + \tau_2)_1 \oplus S(11 + \tau_3)_1 \oplus \dots \oplus S(11 + \tau_{12})_1 \\ & \oplus S(11 + \tau_1)_2 \oplus S(11 + \tau_2)_2 \oplus S(11 + \tau_3)_2 \oplus \dots \oplus S(11 + \tau_{12})_2 \\ & = z(\tau_1)_0 \oplus z(\tau_1)_1 \oplus z(\tau_1)_2 \oplus \dots \oplus z(\tau_{12})_0 \oplus z(\tau_{12})_1 \oplus z(\tau_{12})_2 = 0 \end{aligned} \quad (11)$$

هر سطر از سمت چپ رابطه‌ی ۱۱، معادل با یک رابطه‌ی بازگشتی از ثبات انتقال خطی است. بنابراین می‌توان نتیجه گرفت که حاصل هر سطر از سمت چپ رابطه‌ی ۱۱ طبق رابطه‌ی ۸ برابر صفر است. بنابراین سمت چپ رابطه‌ی ۱۱ مساوی صفر می‌شود و تنها سمت راست آن که براساس کلمات خروجی بیان شده است، باقی می‌ماند. در نتیجه تمایزگر  $\oplus_{t=0}^{\tau_{11}} (z_0 \oplus z_1 \oplus z_t)$  با اریبی  $2^{-1} \cdot (2^{-1})^{12} = 2^{-1}$  (و به عبارت دیگر با احتمال  $p = \frac{1}{2} + \varepsilon = \frac{1}{2} + \frac{1}{2} = 1$ ) برقرار است. بنابراین به منظور اعمال این حمله با توجه به رابطه‌ی ۸ فقط حدود  $2^{32} = 11 \times 2^{29} - 1$

## ۵. نتیجه گیری

در این مقاله، با یافتن یک نقاب خطی مناسب برای بخش غیرخطی WG-۱۲۸، حمله‌ی تمایز به الگوریتم WG-۱۲۸ ساده شده (بدون در نظر گرفتن تابع اثر) اعمال شد که در صورت دسترسی به  $2^{32}$  کلمه خروجی منجر به ساخت تمایزگری با احتمال ۱ می‌شود. لازم به ذکر است که اعمال آزمون‌های آماری متداول بر دنباله‌های خروجی الگوریتم ساده شده‌ی WG-۱۲۸ نشان می‌دهد که حذف تابع اثر موجب پیدایش رفتار غیرتصادفی در دنباله‌ی بیت‌های حاصل از الگوریتم ساده شده WG-۱۲۸ نمی‌شود.

## پانویس

1. trace function
2. european network of excellence for cryptology
3. gate
4. linear feedback shift register
5. distinguishing attack
6. chosen IV
7. mask
8. bias
9. key recovery
10. prediction
11. primitive polynomial
12. autocorrelation
13. cross correlation
14. run
15. elistinyuisher

## منابع

1. Available at <http://www.ecrypt.eu.org/2009>.
2. Ekdahl, P., and Johansson, T. "SNOW-a new stream cipher", First Open NNESSIE Workshop, (2000); Available at <http://www.it.lth.se/cryptology/snow/2008>.
3. Daemen, J., and Clapp, C. "Fast hashing and stream encryption with panama", Fast Software Encryption-FSE'1998, LNCS 1372, pp. 60-74, Springer-Verlag (1998).
4. Rogaway, P., and Coppersmith, D. "A software-optimized encryption algorithm", Fast Software Encryption-FSE'1994, LNCS 809, pp. 56-63, Springer-Verlag (1994).
5. Nawaz, Y., Gong, G. "WG, a family of stream ciphers with designed randomness properties", *Information Sciences*, 178(7), pp. 1903-1916 (2008).
6. Wu, H., and Preneel, B. "Resynchronization attacks on WG and LEX", Fast Software Encryption-FSE'2006, LNCS 4047, PP. 422-432, Springer-Verlag (2006).
7. Wu, H. "Cryptanalysis and design of stream ciphers", A PhD thesis of Katholieke Universiteit Leuven, Belgium (2008).
8. Nawaz, Y., and Gong, G. "Preventing chosen IV attack on WG cipher by increasing the length of key/IV setup", ECRYPT Stream Cipher Project Report 2005/033; Available at <http://www.ecrypt.eu.org/stream/2008>.
9. Rose, G., and Hawkes, P. "On the applicability of distinguishing attacks against stream ciphers", Third Nessie Workshop, Technical report, QUALCOMM Australia (2002).
10. Coppersmith, D.; Halevi, S., and Jutla, C. "Cryptanalysis of stream ciphers with linear masking", Advances in Cryptology-Crypto'2002, LNCS 2442, pp. 515-532, Springer-Verlag (2002).
11. Nyberg, K., and Wallen, J. "Improved linear distinguishers for SNOW 2.0", Fast Software Encryption-FSE'2006, LNCS 4047, pp. 144-162, Springer-Verlag (2006).
12. Yeon Cho, J., and Pieprzyk, J. "Distinguishing attack on SOBER-128 with linear masking", Information Security and Privacy, LNCS 4058, pp. 29-39, Springer-Verlag (2006).
13. Englund, H., and Maximov, A. "Attack the DRAGON", Progress in Cryptology INDOCRYPT'2005, LNCS 3797, pp. 130-142, Springer-Verlag (2005).
14. No, J.S.; Golomb, S.W.; Gong, G.; Lee, H.K., and Gaal, P. "Binary pseudorandom sequences of period  $2^n - 1$  with ideal correlation properties", *IEEE Transactions on Information Theory*, 44(2), pp. 814-817 (1998).
15. Nawaz, Y. "Design of stream ciphers and cryptographic properties of nonlinear functions", A PhD Thesis of University of Waterloo, Ontario, Canada (2007).

